

高分子複合材料의接着强度에關한研究(IV)

三成分系強化プラスチック의引張特性

金源澤·金商郁·盧時台

漢陽大學校工科大學工業化學科

(1977년 9월 26일 접수)

Studies on Adhesive Strength of Polymer Composites(IV)

Tensile properties of Three-Component Reinforced Plastics

Won Taik Kim, Sang Wook Kim, and Si Tae Nho

Department of Industrial Chemistry, College of Engineering, Hanyang University,
Seoul 133, Korea

(Received September 26, 1977)

要 約：複合素材로서 탄산칼슘 및 粒狀 glass 充填材와 fibre glass 短纖維를, polymer matrix 로써는 不飽和 polyester 樹脂을 使用하여 粒狀分散系, 纖維狀充填系 그리고 粒狀-纖維狀混合系의 三種의 composites 를 成形했다.

그結果, 粒狀分散系에서 composites 의 強度는 粒狀 glass 의 경우에 容積含有率이 25% 이하에서는 Nielsen 의 理論値과 거의 일치하였고 그 이상에서는 상회했다. 더우기 coupling agent 를 blend 했을 때는 매우 좋은 값을 얻었는데 이것은 24~45%에서만 理論値보다 상회하는 탄산칼슘과는 달리 粒狀 glass 와 matrix 間의 接着力이 보다 強하다는 것을 보여 주는 것이다.

無配向 纖維狀充填系의 引張強度는 Holister 의 理論値의 35~50%를 나타냈으며 剪斷強度는 纖維의 길이에 대략 反比例해서 減少한다는 것을 알 수 있었다. 또한 混合系에 있어서 強度는 纖維에 크게 의존함을 알았으며 最大強度를 나타내는 粒狀充填材의 容積含有量이 粒狀分散系의 最適含有量과 일치함을 알았다.

Abstract: The role of calcium carbonate, glass particulate filler, and discontinuous fibreglass in reinforced unsaturated polyester is experimentally investigated. The composites were manufactured in three forms; particulate filler, fibreglass reinforced and filler-fibre mixed systems.

The results indicate that the strength obtained in the composites filled with calcium carbonate was lower than Nielson's theoretical value. But when the matrix was incorporated with glass particulate filler and coupling agent, the strength was increased higher than that of the theoretical value.

The tensile strength of the composites filled with randomly oriented fibreglass showed approximately 35-50% of the Holister's theoretical strength. And the

shear strength decreased with the increase in the length of fibreglass.

In mixed system, however, volume fraction of filler which shows the maximum strength was in agreement with optimum volume fraction of composites simply filled with particulate filler.

1. 序 論

構成素材의 形態에 따라 板狀積層系, 粒狀分散系, 纖維狀充填系 및 粒狀一纖維狀三成分混合系로 分류되는 複合材料는 最近에 이르러 그 應用分野의 細分化와 多樣化에 의하여 材質의 特性화와 連續製造工程화를 강력하게 要求받게 되었던 바 Sheet molding compound(SMC)와 Premix에 의한 Bulk molding compound(BMC)와 같은 短纖維狀三成分混合系에 關한 研究가 큰 注目을 받고 있다^{1~6}.

板狀積層系에 對해서는 Goodier의 理論과 山口章三郎의 光彈性學의 考察이 있고⁷, 粒狀分散系에 對해서는 充填劑와 matrix 간의 接着力 有無로 應力集中을 고려한 Nielsen의 理論^{8~10} 있으나 아직 確立되어 있지는 않다.

한편 纖維狀充填系에 對해서는 纖維의 配向效果에 따른 強度論으로써 Kelly-Dabies 와 Hill^{11~12} Hukuda-Kawata^{13~14} 등의 理論的 考察이 있고, 纖維와 matrix 間의 應力分布를 考察한 Cox, Dow, Rosen, 및 Holister^{15~18} 등의 해석이 있으며 특히 Holister^{18~20}는 纖維狀複合材의 引張強度에 대한 複合法則을 제안하여 거의 定說化시켰다.

一般的으로 纖維狀充填系에서 樹脂는 硬化過程이 進行됨에 따라 纖維로 부터 固體彈性을 획득하고 纖維를 周圍로 부터 支持하는 能力を 갖게 됨과 동시에 樹脂自體가 수축하기 때문에 纖維와의 界面에서는 剪斷應力이 作用하게 된다. 이때 纖維는 剪斷應力を 側面으로 받아 軸應力を 갖게 되어 引張力を 받게 된다. 또한 短纖維는 無配向으로 配列하였을 때 纖維에 걸리는 引張力은 多經路荷重構造(multi-load-path structure)에 의해서 傳達되므로 纖維의 길이가 臨界纖維長 l_c 보다 큰 경우는 纖維의 平均應力 σ_f 까지 傳達된다. 지금 Holister의 複合法則에

서 短纖維를 一方向으로 補強하는 경우 複合材의 強度는

$$\sigma_c = \sigma_f \left(1 - \frac{l_c}{2l}\right) V_f + \sigma'_m (1 - V_f) \quad (1)$$

(여기서 σ_c 는 複合材의 引張強度, σ_f 는 纖維의 引張強度, σ'_m 는 纖維 破斷時의 樹脂의 強度, V_f 는 補強纖維의 體積分率이다)이고 臨界纖維長 l_c 와 剪斷強度 τ_f 및 平均應力 σ_f 와의 관계는

$$l_c = \frac{\sigma_f \cdot d}{2\tau_f} \quad (2)$$

와

$$\sigma_f = \sigma_f \left(1 - \frac{l_c}{2l}\right) \quad (3)$$

(여기서 σ_f 와 d 는 纖維의 引張強度와 直徑이다.) 이므로 複合系에서 複強效果는 補強纖維의 길이와 補強材와 樹脂間의 剪斷應力이 重要한 因子가 된다.

그래서 本 研究는 強化 plastics의 主軸을 이루고 있는 不飽和 polyester 樹脂를 基材로 하여 먼저 탄산칼슘과 粒狀 glass로 充填시켜 含量에 따른 粒狀分散系의 引張強度를 Nielsen의 理論式과 비교하고 分散系에 coupling agent를 blending 22~24 하였을 때 引張力變化를 考察했다. 또한 補強纖維를 각각의 길이로 절단하여 SMC와 BMC의 경우같이 無配向으로 配列하여 複合시켜서 Holister의 複合法則과 비교하고 纖維의 길이에 따른 剪斷強度의 變化를 考察했으며 이들을 토대로 하여 粒狀一纖維狀三成分混合系에 대한 引張特性에 대하여 考察했다.

2. 實 驗

2-1 試料 및 試藥

本 實驗에서 使用한 試料와 試藥은 다음과 같다.

不飽和 polyester 樹脂는 서울味元(株) 社 製品(G-713 BP 粘度 3.6ps(A. V : 15~20))를 使用

高分子複合材料의接着强度에關한研究(IV)

했고 fibreglass는 日本日東紡績社製品(無處理)으로 직경 9~11 μ , 알칼리含量²¹은 7.5%인 것을使用했다. 硬化剤로써 methylethylketone-peroxide(MEKPO)는 日本觸媒化學社製品(特級)을 使用했다, 離型剤 Silicone oil은 Dow corning社製品(特級, 粘度 350 cps)을, coupling agent로써 γ -Methacryloxypropyltrimethoxysilane [KBM-503, 構造式 : $\text{CH}_2\text{C}(\text{CH}_3)\text{CO}(\text{CH}_2)_3\text{Si}(\text{OCH}_3)_3$]은 日本信越社製品(特級)을 使用했다. 粒狀充填材로써 탄산칼슘은 試藥用(特級·粒度 300 mesh)을, 粒狀 glass는 本實驗에서 使用한 fibreglass를 分쇄(粒度 300 mesh)하여 使用했다.

2-2 器 具

本實驗에서 使用한 器具는 4-ton press(Shimadzu, 加熱板 부착)와 CM-10 type thickness tester(Shimadzu), Homogenizer(100V 1800R/M, Seiki) 그리고 Tensile Strength Tester는 Universal Testing Instrument(Model TM-SM)을, 분쇄기는 Pot mill(Patent 398793 Model UB-21, No. 06, Yamato, Co.)을 使用했다.

2-3 實 驗

1) 粒狀分散系一不飽和 polyester plate 製造

不飽和 polyester樹脂에 탄산칼슘과 粒狀 glass를 각각 含量別로 混合하고 Homogenizer로 3分間 閑和分散시킨 다음 樹脂含量에 對하여 1 wt %의 MEKPO를 침가하여 45°C에서 30分間 加熱하여 成形했다.

粒狀 glass에 coupling agent를 混合하는 경우는 樹脂에 樹脂含量의 1 wt %의 KBM-503을 閑和分散하고 粒狀 glass를 分散시킨 다음 항온실에서 12時間 이상 방치한 후硬化剤를 넣어 같은 조건에서 成形했다.

2) 纖維狀充○系一不飽和 polyester plate 製造

2, 3, 5, 13 및 25mm로 각각 절단한 fibreglass을 함량별로 평량하여 1 wt %의 MEKPO(硬化剤)를 混合한 不飽和 polyester樹脂로 mold 안에

서 積層시켜 45°C에서 30分間 2 ton/cm²로 加壓했다.

이때 fibreglass는 無配向으로 配置시켰으며 積層시 반복 rolling해서 氣泡를 最大限 제거한 다음 成形했다.

3) 粒狀一纖維狀 三成分 混合系 不飽和 polyester plate 製造

탄산칼슘을 含量別로 不飽和 polyester樹脂에 각각 混合하고 Homogenizer로 閑和分散시킨 다음 1 wt %의 MEKPO를 침가하여 無配向으로 配置시킨 fibreglass에 積層시켜 45°C에서 30分間 2 ton/cm²로 加壓하여 成形했다.

粒狀 glass의 경우는 1 wt %의 KBM-503 coupling agent를 混合하여 12時間 이상 항온실에서 방치한 다음 硬化剤를 침가하여 탄산칼슘때와 같은 方法으로 成形했다.

4) 強 度 測 定

引張強度는 粒狀分散系, 纖維狀充填系 및 粒狀一纖維狀 三成分 混合系로 製造한 不飽和 polyester plate에서 각각 含量別로 試驗片을 5個씩 만들어 一週間 항온실에서 방치한 다음 引張強度 50mm/min로 引張하여 測定했다. 測定值는 平均値이다(ASTM D638). 한편 剪斷強度²⁵는 먼저 65×25(mm)의 glass板 2매를 aceton으로 세척하고 乾燥시킨 다음 같은 크기의 알루미늄板을 glass板一面에 각각 接着시킨 試驗片을 製作했다. 1 wt %의 MEKPO를 混合한 不飽和 polyester樹脂를 試驗片의 glass板 사이에 接着面의 직경이 10mm 이하로 되게 塗布하여 45°C로 30分間 加熱하고 항온실에서 1週間 방치시킨 다음 50 mm/min의 引張速度로 5個 測定하여 平均値 1.13 kg/mm²를 얻었다.

3. 結果 및 考察

3-1 容積 含有率²⁶

不飽和 polyester樹脂, fibreglass와 탄산칼슘의 物性은 Table 1에 표시했다. 實驗에서 使用한 容積含有量과 重量含有量과의 관계는 Figure 1과 같다.

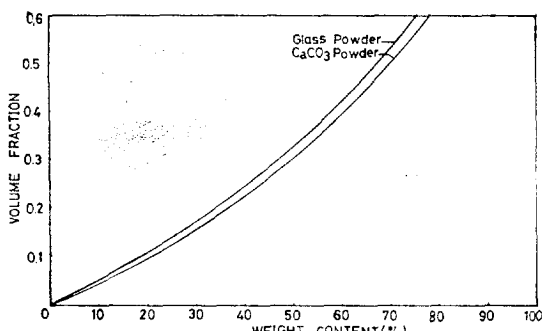


Figure 1. The relation of volume fraction and weight content in particulate filler.

Table 1. Properties of Materials

Properties	Materials		
	Unsaturated Polyester	Fiberglass	CaCO ₃
Tensile strength	4.16 kg/mm ²	120 kg/mm ²	
Density	1.21	2.53	2.83

3-2 粒狀 分散系

Matrix 와 接着力이 없는 充填材를 分散시킬 경우 그에 대한 Nielsen^{9~10}의 理論強度式은 $\sigma_c = \sigma_m(1 - V_f^{2/3})S$ 이고 (여기서 σ_c 는 分散系 composites 의 引張强度 V_f 는 充填材의 含有率이고, S 는 應力集中係數이다.) 여기에 Table 1의 값을 代入하면

$$\sigma_c = 4.16(1 - V_f^{2/3}) \cdot S \text{ 이다.}$$

Figure 2에 充填材를 탄산칼슘과 粒狀 glass 를 使用했을 경우 含量에 따른 強度變化와 應力集中이 일어나지 않는다고 보았을 경우(즉 $S=1$ 일 때)의 理論強度의 變化를 나타냈다.

탄산칼슘 充填材의 경우(曲線 A) 容積含有率 15 % 이상에서 理論값보다 上昇하여 24%에서 最大 引張强度를 나타내고 있으나 matrix 자체의 強度에 미치지는 못하며 含有量이 增加함에 따라 급격한 強度低下를 나타내고 있다. 이것은 Nielsen의 解釋에서와 같이 탄산칼슘과 matrix 사이의 接着力이 적기 때문에 引張時에 그 界面空間에 應力가 集中되어 強度가 低下하지만 一定 容積含有率(15~24 %)에서는樹脂自體의 취약성이 充填材에 의해서 어느 정도 缓和되며 때문에

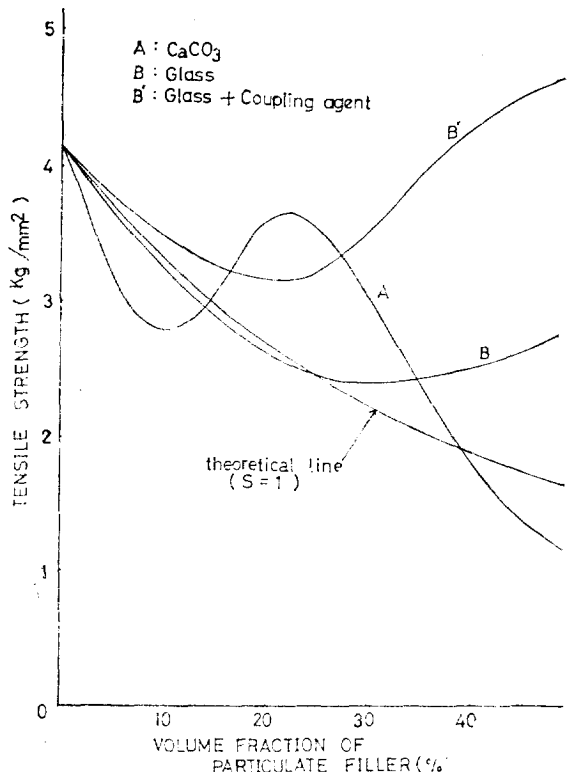


Figure 2. Theoretical and experimental data for the tensile strength of Unsaturated Polyester filled with particulate filler.

强度의 上昇效果를 나타내는 것으로 생각된다.

한편 本樹脂와 glass 板간의剪斷强度가 1.13 kg/mm²인 바 曲線 B와 理論線과를 비교하면 粒狀 glass 充填材의 경우는 含有率 25 %에서 理論强度보다 上昇함을 나타내고 있어 matrix 와 接着力을 가지며, 含有率이 增加함에 따라 應力負擔을 수행하고 있는 것을 알 수 있다. 더우기 界面 接着力을 增加시키는 coupling agent를 blending 했을 경우(曲線 B') 充填材의 應力負擔能力이 향상됨을 잘 나타내고 있다.

3-3 纖維狀 充填系

Fiberglass 와 matrix 의 界面剪斷强度 $\tau_f = 1.13 \text{ kg}/\text{min}^2$ 인 바 (2)式에 의해서 臨界纖維長 $l_c = 0.53 \text{ mm}$ 이다. 그러므로 本實驗에서는 多經路荷重構造에 의해서 補強效果를 나타낼 수 있도록 纖維의 길이를 l_c 보다 길게 절단하여 無配

高分子複合材料의接着强度에關한研究(IV)

向으로配列시켜成形했다. Table 1의 값과 l_c 의 값을 (1)式에代入하면 Composite의理論强度는

$$\sigma_c = 120 \left(1 - \frac{0.53}{2l} \right) V_f + 2.17(1 - V_f)$$

이된다.

Figure 3에각각의 섬유의길이에대한理論값과實驗값을표시했고길이에따른剪斷强度의變化를Table 2에나타냈다.

Figure 3에서알수있듯이容積含有率20%에서實驗값들은理論값의35~50%로현저한차

Table 2. Variation of Shear Flow Stress with Fibreglass Length

Property	Experi-mental Value	Fibreglass Length (mm)				
		25	13	5	3	2
Shear Flow Stress(kg/mm ²)	1.13	0.022	0.039	0.088	0.147	0.205

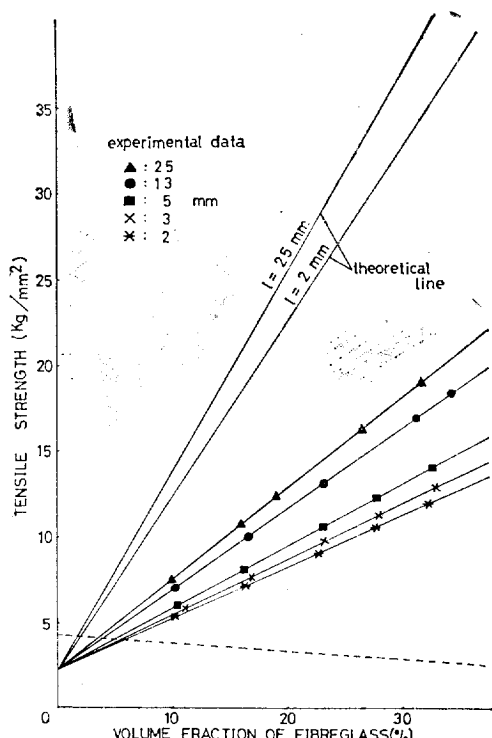


Figure 3. Theoretical and experimental date for the tensile strength of short fibreglass randomly reinforced Unsaturated Polyester.

이를나타낸다.더우기理論값에서 $l=2\text{mm}$ 의경우 25mm 값의87%를나타내나實驗값에서는64%로보다많은차이가있음을알수있다.이와같이많은차이를나타내는것은matrix로부터傳達된引張應力이干渉된纖維의配列方向을따라分散傳達되므로無配向配列에따른引張方向의纖維有效含有率의減少와成形時에纖維와matrix間의有效接着面積率이glass板사이보다낮기때문으로생각된다.

한편林毅²⁷등은成形時纖維의座屈現象에서纖維의直경이적을수록界面剪斷應力에영향을주는壓縮座屈荷重이커지는것을實驗적으로밝히고있다. Table 2에서纖維의길이가길어질수록剪斷應力이減少하는것은長纖維일수록纖維間의干渉으로分散이어려워纖維의集束을초래하므로纖維의有效含有率및有效接着面積率의減少外에도單位纖維當matrix로부터받는壓縮座屈荷重이減少하기때문이라고생각된다.

3-4 粒狀一纖維狀三成分混合系

充填材가matrix와接着力이큰경우와적은경우의三成分系에있어서充填材의영향을考察하기위하여탄산칼슘과coupling agent를blending한粒狀glass를分散시킨樹脂로無配向으로配列한fibreglass에積層시켰다. 그結果를Figure 4-11에나타냈다.

Figure 4-7까지는充填材가탄산칼슘인경우에纖維의길이에따른引張强度의變化를표시한것이고Figure 8-11까지는粒狀glass를充填材로한경우이다. Figure中の直線은纖維狀充填系만의强度를표시한것이다. Figure 4, 5, 6, 7에서탄산칼슘充填材로인하여混合系의强度가纖維狀充填系의强度보다全般的으로減少함을나타내고있으며纖維의길이가짧아짐에따라減少現象이보다뚜렷함을알수있다. 또Figure 8, 9, 10, 11의粒狀glass充填材의경우는약간상회하고있음을알수있고充填材가서로다른모든경우에纖維의容積含有量15~20%정도에서强度曲線의급격한變曲을나타내고있는것을알수있다.

金源澤·金商郁·盧時台

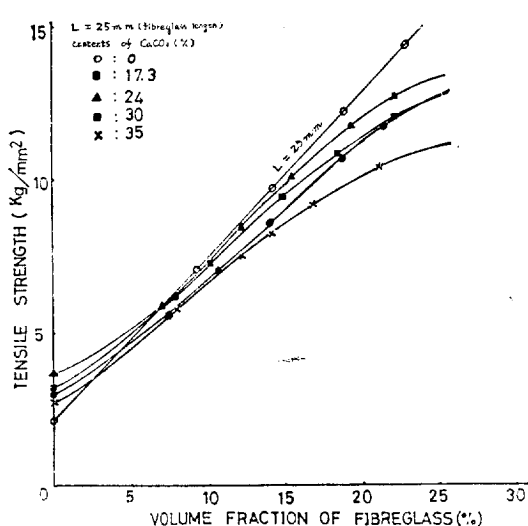


Figure 4. Experimental data for the tensile strength vs. volume fraction of fibreglass (length= 25mm) reinforced Unsaturated Polyester filled with particulate filler. (CaCO₃).

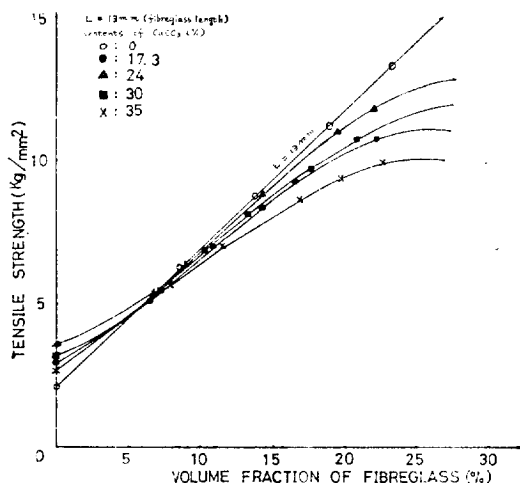


Figure 5. Experimental data for the tensile strength vs. volume fraction of fibreglass (length= 13mm) reinforced Unsaturated Polyester filled with particulate filler (CaCO₃).

이와 같이充填材의種類에 따라强度의 차이가 있는 것은 탄산칼슘充填材가 matrix와接着力이 fibreglass와의 것보다 적으므로無配向纖維의荷重傳達構造에서 겹쳐진纖維末端과末端사이의 matrix의 降伏強度를 저하시키기 때문이다, 더욱이 纖維의 길이가 짧아짐에 따라强

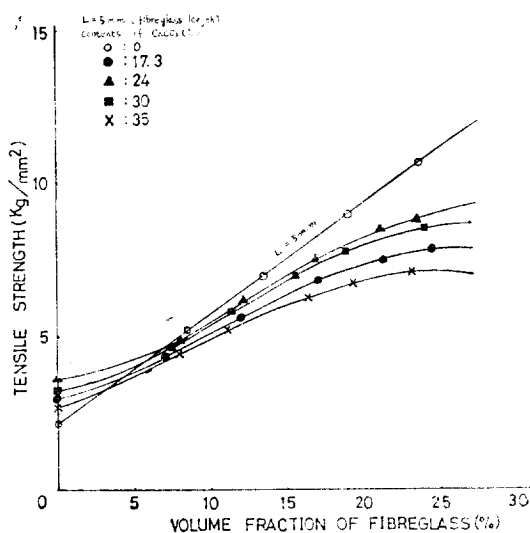


Figure 6. Experimental data for the tensile strength vs. volume fraction of fibreglass (length= 5mm) reinforced Unsaturated Polyester filled with particulate filler (CaCO₃).

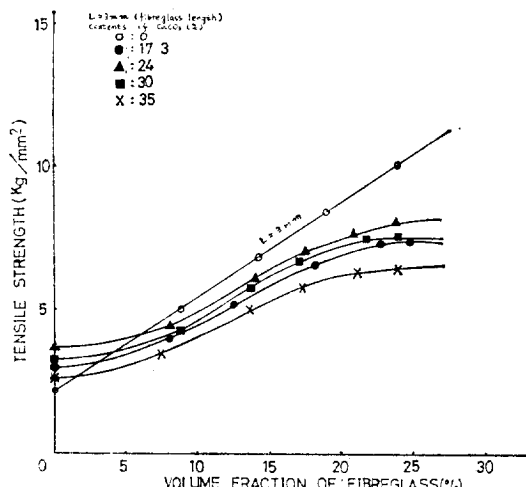


Figure 7. Experimental data for the tensile strength vs. volume fraction of fibreglass (length= 3mm) reinforced Unsaturated Polyester filled with particulate filler (CaCO₃).

度의 低下가 현저한 것은 短纖維일수록 末端數가 많아짐으로 荷重傳達의 干涉이 증대되기 때문이라고 생각된다. 또한 粒狀 glass充填材의 경우는 matrix와 接着力이 coupling agent의 blending에 의해서 fibreglass의 것보다 증대되기 때문에 겹쳐진 纖維末端間 matrix의 降伏強度

高分子複合材料의接着强度에關한研究(IV)

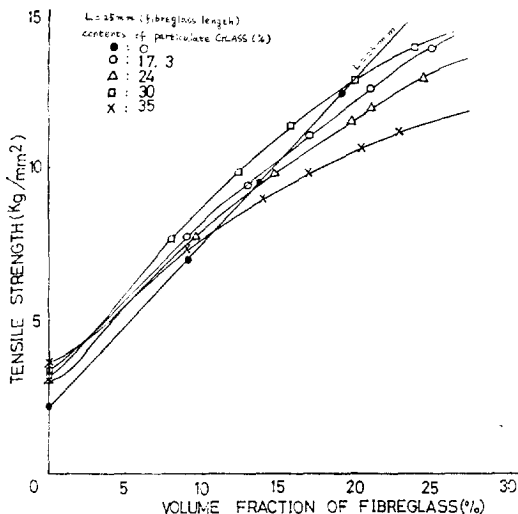


Figure 8. Experimental data for the tensile strength vs. volume fraction of fibreglass (length=25mm) reinforced Unsaturated Polyester filled with particulate filler (Glass).

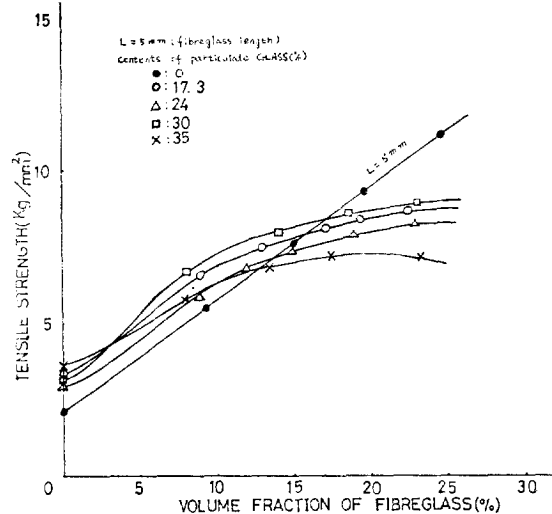


Figure 10. Experimental data for the tensile strength vs. volume fraction of fibreglass (length=5mm) reinforced Unsaturated Polyester filled with particulate filler (Glass).

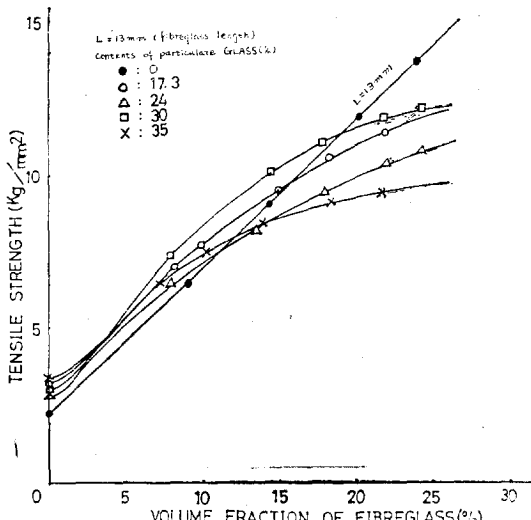


Figure 9. Experimental data for the tensile strength vs. volume fraction of fibreglass (length=13mm) reinforced Unsaturated Polyester filled with particulate filler (Glass).

가 커지기 때문이다. 그리고 強度曲線의 變曲은 充填材를 matrix에 分散시키면 粘度가 커지므로 纖維의 容積含有量이 높아짐에 따라 成形時 纖維의 함침이 나빠지기 때문이다. 한편 混合系에서 탄산칼슘充填材의 경우는 容積含有率이 24%에서 粒狀glass의 경우는 30%

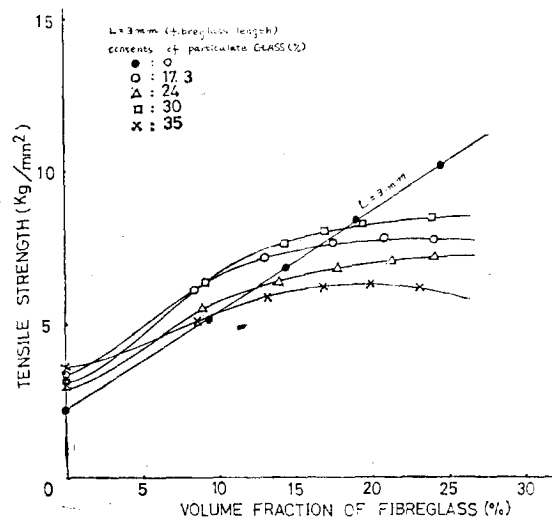


Figure 11. Experimental data for the tensile strength vs. volume fraction of fibreglass (length=3mm) reinforced Unsaturated Polyester filled with particulate filler (Glass).

에서 가장 좋은 強度를 나타내고 있어 粒狀分散系에서의 最適含有量과 일치한다.

4. 結論

粒狀分散系의 경우

- matrix와 接着力이 적은 탄산칼슘充填材를

使用하는 경우 應力集中이 일어나 composites의 引張強度를 低下시키며

2. 接着力을 갖는 粒狀 glass充填材는 容積含有率이 40% 이상에서 composites의 強度가 matrix自體의 痠보다 높아지는 것을 알 수 있다.

纖維狀充○系의 경우

3. 短纖維를 無配向으로 配列했을 때 composites의 強度는 一方向性理論의 35~50% 정도이며, 纖維의 길이가 短을수록 低下한다.

4. 界面剪斷強度는 纖維의 길이에 따라 反比例의으로 減少하며 그 이유는 纖維의 分散性에 기인하는 것으로 생각된다.

粒狀—纖維狀 三成分 混合系

5. 混合系 composites의 強度는 纖維에 크게 의존하나 充填材와 matrix間의 接着力多少에 따라 增減된다는 것을 알고 있고

6. 最大 強度를 나타내는 粒狀 充填材의 容積含有量이 粒狀分散系의 最適含有量과 일치하는 것을 알았다.

7. 따라서 微細한 粉末 充填材를 使用하는 경우, 充填材를 分散시킨 樹脂(不飽和 polyester)를 一成分 matrix로 생각하여 三成分 混合系에서도 纖維의 含有量이 15% 以內인 범위에서 纖維狀 二成分系 Holister의 複合法則을 適用할 수 있을 것으로 본다.

引 用 文 獻

1. 山口章三郎, 工業材料 23, 92, (1975)
2. 渡邊寧, 高分子, 22, 251, (1973)
3. 新倉勇, 強化プラスチックス 16, 317, (1970)
4. 小口信, 強化プラスチックス 16, 223, (1970)

5. 高木收一, 工業材料 15, 43, (1967)
6. 高木收一, 工業材料 23, 9, 17, (1975)
7. 山口章三郎, 複合材料, 8, 201, (1975)
8. 山口章三郎, 工業材料 23, 87, (1975)
9. L.E. Nielsen, *J. Appl. polymer Sci.*, 10, 97, (1966)
10. 富川昌美, 高分子, 24, 537, (1975)
11. G.S. Holister, "Fibre Reinforced Materials" Elsevier (1966), p. 133
12. 宮人裕夫, 強化プラスチックス, 17, 351, (1971)
13. 福田, 河田 "東京大學宇宙航空研究所報告" 10, 3, 492, (1974)
14. 福田, 河田 "東京大學宇宙航空研究所報告" 10, 3, 472, (1974)
15. 島村昭治 強化プラスチックス, 16 46, (1970)
16. 宮人裕夫, 強化プラスチックス 17, 41, (1971)
17. 宮人裕夫, 強化プラスチックス 17, 68, (1971)
18. 林毅, 工業材料 15, 9 (1969)
19. 仁木, 黒岩, 複合材料 8, 89, (1975)
20. G.S. Holister "Fibre Reinforced Material" Elsevier (1966) p. 66~116
21. 金源澤, 金商郁, 化學工學 14, 77, (1976)
22. 高見澤稔, 強化プラスチックス, 16, 269, (1970)
23. 大西俊次, 工業材料 20, 8, (1972)
24. 井上凱夫, 工業材料 23, 49 (1975)
25. 山口章三郎, 複合材料 8, 201, (1975)
26. 早川雄三, 強化プラスチックス, 21, 507, (1975)
27. 林毅, 強化プラスチックス, 16, 61, (1970)

(學會記事)

運營委員會報告

第2回 (1977.10.5)

1. 秋季定期總會 및 學術研究論文發表會 進行表 및 論文抄錄作成完了하고 인쇄에 희부키로 함.
2. 秋季定期總會 準備問題 討議
3. 特別講演料 1萬원으로 함
4. 懇親會費 1,500 원으로 함
5. 名譽會員牌를 만들기로 함.

第3回 (1977.10.12)

1. 慶北支部 創立總會에 會長團에서 1名 參席 工學會와 協議키로 함
키로 함
2. 秋季總會 準備事項을 大韓化學會, 韓國化學
3. 其他 秋季總會 準備問題 討議

第4回 (1977.10.17)

1. 慶北支部 創立總會 參席後 結果報告 : 專務理事
2. 秋季總會 準備事項 總點檢事

第5回 (1977.10.27)

1. 秋季總會 開催後 使用經費整理(他學會와 共同使用한 經費 등)
2. 未收金된 廣告費納入 督促狀 發送키로 함
3. 社團法人體로서의 本學會 領收證에 관한 問題點 討議

- 1 -

1977 年度

秋季定期總會 및 學術研究論文發表會

秋季定期總會日程 및 研究發表論文抄錄

日 程 表

第1日，10月21日(金)

時 間	行 事			場 所
9:00~ 9:30	登 錄			
9:30~10:30	特 別 講 演	우리 나라 化學技術用役의 現況과 展望 全엔지니어링 全 民 濟		大 講 堂
10:50~11:20	特 別 講 演	(특 1) SBS Block Copolymer 용액의 Rheology에 관한 嶺南大 工大 金 凤 植		1-014 教 室
11:30~12:00	總 會			1-014 教 室
12:10~12:40	特 別 講 演	(특 2) Characterization of Epoxy Resin 原子力研究所 李 德 媛		1-014 教 室
12:40~14:00	點 心			寄宿舍 食堂
14:00~17:30	學 術 研 究 論 文 發 表			5-405 教 室
18:00~19:00	懇 親 會			오림포스 호텔

第2日，10月22日(土)

時 間	行 事			場 所
9:30~10:00	特 別 講 演	(특 3) Polymer Separation and Characterization by Thin-Layer Chromatography 亞洲工大 閔 泰 益		5-405 教 室
10:00~13:00	學 術 研 究 論 文 發 表			5-405 教 室

學術研究論文發表時間表

第1日, 10月21日(金)

○發 表 者

時 間	學術研究論文題目	座長	정 마 이	진 석 덕	철 일 원
14:00~14:20	(연 1) Photopolymerization of Acrylonitrile in Frozen State	서울대 농대 마석	서	일	
14:20~14:40	(연 2) Synthesis of New Phosphorus-Containing Polymers	고려대 ○진금	진 금	정 상	일 록
14:40~15:00	(연 3) 不均一系共重合에서 L-Proline 과 L-Alanine 共重合體의 構造發生	한양대 공대 ○김이	○ 김 이	계 영	용 부
15:00~15:20	(연 4) L-Proline NCA 의 重合反應速度	한양대 공대 ○정김서	정 김 서	우 계 한	창 용 주
15:20~15:40	(연 5) 不均一系重合에서 L-Proline 과 L-Valine 共重合體의 構造發生	한양대 공대 ○김오유한양행	○ 김 오 유 한 양 행	계 문	용 기
15:40~16:00	(연 6) 폴리에스텔화 반응에 있어서의 부반응 (I) 무수프탈산과 에틸렌글리콜의 폴리에스텔화 반응에 있어서 디에틸렌글리콜의 생성	한국원자력연 ○김성박	변 박 성 김 성 박	형 기 기 한	직 업 용 인
16:00~16:20	(연 7) MMA Suspension Polymerization	서울대 공대 ○장심	○ 장 심	정 원	섭 태
16:20~16:40	(연 8) Etherification Reaction of 4, 4'-Dihydroxydiphenylmethane with Glycidyl Methacrylate	한국원자력연 ○박성김	변 박 성 김	형 와 기 기	직 비 용 염
16:40~17:00	(연 9) Graft Copolymerization of Acrylonitrile to Polyvinylalcohol	한국과학원 ○조김	조 김	의 청	환 수
17:00~17:20	(연 10) Polymerization of Vinyl Monomers on Clay Surfaces	한국과학원 ○정광	○ 정 광	의 광	환 준

第2日, 10月22日(土)

○發 表 者

時 間	學術研究論文題目	座長	김 김 민	성 봉 태	철 석 의
10:00~10:20	(연 11) SB Diblock Copolymer 溶液의 Rheology에 關한 研究	영남대 공대 김봉식	김 봉 식		
10:20~10:40	(연 12) Preparation of Sequential Copypeptide Containing Glycyl and γ -Benzyl-L-Glutamyl Residued	인하대 ○이김	이 김	동 기 영	주 창 철
10:40~11:00	(연 13) Determination of Compositional Heterogeneity of Styrene-Acrylonitrile Statistical Copolymers by Thin Layer-FID Chromatography	아주공대 민태익	민 태 익		
11:00~11:20	(연 14) 高分子複合材料의 接着强度에 關한 研究 (II) Fibreglass Reinforced Low-Density Polyethylene 의 強度向上 効果	한양대 공대 ○김원상	○ 김 원 상	원 상 태	택 우 태
11:20~11:40	(연 15) 高分子複合材料의 接着强度에 關한 研究 (III) Fibreglass Reinforced Polypropylene의 強度向上 効果	한양대 공대 ○김원상	○ 김 원 상	원 상 태	택 우 태
11:40~12:00	(연 16) 高分子複合材料의 接着强度에 關한 研究 (IV) 三成分系 強化 플라스틱의 引張特性	한양대 공대 ○김원상	○ 김 원 상	원 상 태	택 우 태
12:00~12:20	(연 17) 電氣放電法을 利用한 폴리울레핀 複合材料에 關한 研究	인하대 ○김정억	○ 김 정 억	정 억 광	업 산 원
12:00~12:40	(연 18) 癢플라스틱을 利用한 特殊吸着劑의 製造에 關한 研究 (II)	한양대 공대 최규성	최 규 성	규 성 체	설 현

特別講演抄錄

SBS Block Copolymer 溶液의 Rheology에 關한 研究

영남대 공대 김봉식

Styrene-Butadiene-Styrene(SBS) block copolymer에 대하여 溶媒을 變化시킴에 따라 여러가지 구조의 溶液을 만들고, 그의 構造와 rheology 적인 性質과의 關係를 調査한다. 또 定常流粘度뿐만 아니라 非定常의 流動의 粘彈性에 대하여도 상세히 檢討한다.

粘彈性函數의 測定에는 cone-plate 型의 應力緩和計와 rheometer를 사용하였다.

SBS—良溶媒系의 경우 溫度一時間換算則, 農度一時間換算則 및 濃度一剪斷速度換算則等이 成立하여 땅은 homopolymer 系와 類似한 舉動을 나타내었지만, homopolymer 系에 있어 잘 成立한다고 알려져 있는 Cox-Merz의 法則은 成立하지 않았다. SBS—貧溶媒系에 있어서는 良溶媒系와는 아주 다르게 前記의 各 換算則이 不成立하였다. 그러나 構成方程式에 대해서 검토한 結果 homopolymer 溶液과 同一한 strain 依存性 構成方程式이 適用되었다.

Characterization of Epoxy Resin

한국원자력연 이덕원

Gel permeation chromatography has been used to separate and characterize the first seven members of epoxy resin polymer homologous series on preparative and analytical scale. The epoxy resin was prepared by the reaction between Bisphenol-A and epichlorhydrin. NMR was used to identify the oligomers. The relationship between extinction coefficient and degree of polymerisation was also determined.

Some possible by-products of epoxy resins formed by reaction of bisphenol A with epichlorhydrin were synthesized, and the gel chromatography behaviour when mixed with the epoxy resins was investigated. The most important by-product, which appears as a shoulder of the monomer peak in the gel chromatogram of technical resine, is present at relatively higher concentration compared to other by-products. This product is obtained by reaction of one OH-group of the bisphenol A molecule to form a chlorhydrin ether and the other OH-group reacting to form a glycidyl ether.

By using pure samples of compounds of the homologous series of epoxide resins consisting of bisphenol A and epichlorhydrin (obtained by preparative gel chromatography) the calibration curves have been established for the quantitative determination of the homologs in the gel chromatograms of the epoxide resins.

From well resolved gel chromatograms of resins formed by various molar ratios of the starting materials also the molecular weight distributions have been determined.

Epoxide resins with very small amounts of by-products show molecular weight distributions according to Flory's theory. Epoxide resins with larger amounts of not completely epoxidized products on the other hand show deviations from the theoretical distributions.

Polymer Separation and Characterization by Thin-Layer Chromatography (TLC)

아주공대 민태의

To describe some applications of TLC to polymer chemistry, mainly three subjects are discussed. The first subject is concerned with a brief introduction to TLC as applied to polymer chemistry, the second one with the end-group effect on polymer separation by TLC, and the third one with characterization of cellulose-styrene graft products which were prepared by mutual irradiation technique using γ -rays.

學術研究論文抄錄

Photopolymerization of Acrylonitrile in Frozen State

서울대 농대 마석일

Photopolymerization of acrylonitrile was carried out in the presence of Nickel Chloride(III) in frozen state at -78°C .

Ethylene glycol was added to acrylonitrile-H₂O-NiCl₃ ternary system so as to keep the reaction system in glassy state at -78°C .

Several information on reaction mechanism was discussed on the basis of kinetic results.

Synthesis of New Phosphorus Containing Polymers

고려대학교 진정일
○금상록

Several new phosphorous containing organic polymers were synthesized in the following ways:

- 1) Transesterification of triethyl phosphite(TEP) with diols (Bisphenol A, 4,4'-thiobisphenol A etc) followed by Arbuzor reaction of the polyphosphite with ethyllodide
- 2) Transesterification of diethyl phosphite with diols
- 3) The direct reaction of diols with phenyl phosphonic dichloride (PPD)

The characterization of these polymers were performed by the examination of solution viscosity, molecular weight determination by vapor phase osmometry, phosphorous analysis, thermal analysis, and solubility.

不均一系重合에서 L-Proline 과 L-alanine 共重合體의 構造發生

한양대 공대 ○김계용
이영무

Polypeptide 中에서 水素結合을 形成하는 L-Alanine NCA 와 水素結合을 形成못하는 L-Proline NCA 를 不均系로 共重合할시 生成하는 폴리머의 構造發生機構를 檢討하기 위하여 아세토니트릴中에서 부틸아민을 개시 제로 共重合시켰다. 아미노산무수물을 的 함량에 따라서

cis構造를 가진 PPI 과 α -helix 의 두構造가 生成됨을 IR 과 X-Ray로 確認하였다.

L-Proline NCA의 重合反應速度

한양 대공대 정우창
김계용
○서한수

n-Butylamine을 開始劑로 아세토니트릴 및 벤젠 용媒중에서 L-Proline NCA의 重合反應速度에 관하여 연구하였다.

폴리머의 重合度는 反應이 進行됨에 따라 증가하였고 m/I와 거의 일치하였다. (m: L-Proline NCA의 몰수, I: n-Butylamine의 몰수). 重合反應速度는 生成하는 CO₂의 量을 측정하여 구하였다.

실험범위는 L-Proline의 농도를 0.217 mole/l로 일정히하고 m/I를 20~200으로 변경하였으며 반응온도는 7°~30°C의 범위로 하였다.

또, 아세토니트릴 및 벤젠용媒중에서 L-Proline NCA의 重合反應時 이들 폴리머의 構造가 서로 다른點도 아울러 검토하였다.

不均一系重合에서 L-Proline 과 L-Valine 共重合體의 構造發生

한양대 공대 ○김계용
유한양행 오문기

α -아미노산무수물을 共重合시켜 生成하는 polypeptide의 構造發生過程에서 水素結合의 影響을 檢討하기 위하여 아세토니트릴中에서 L-Proline NCA 와 L-Valine NCA 를 不均一系로 共重合시켰다.

L-Proline NCA가 많이 含有된 重合에서는 cis-構造를 가진 右旋性의 Poly-L-Proline I의 helix 構造로 結晶이 成長한다. 한편, L-Valine NCA가 많이 含有된 重合에서는 L-Valine NCA의 單獨重合 때 보다 重合率이 높고 L-Proline은 Poly-L-Valine의 β -分子鎖에 含有되어 結晶이 成長하며 이 結晶成長機構는 poly-S-methyl-L-cysteine에서처럼 cross- β 構造를 生成하는 것으로 추측된다.

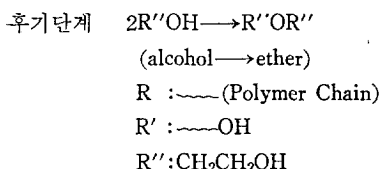
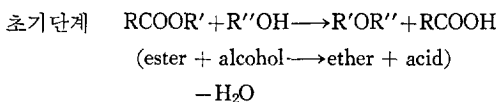
폴리에스텔화 반응에 있어서의 부반응(I) 무수프탈산과 에틸렌글리콜의 폴리에스 텔화반응에 있어서 디에틸렌글리콜의 생성

한국원자력연 변형직
○김기엽
성기웅
박완빈

Ethylene glycol과 phthalic anhydride의 폴리에스텔화 반응에 있어서 부반응으로 생성되는 diethylene glycol(DEG)에 관하여 고찰하였다.

DEG 생성량은 초기단계에서 급격히 증가하나 시간이 증가함에 따라 일정시간 후에는 감소하며 후기단계에서 다시 증가하는 경향을 나타내 주고 있다.

DEG 생성은 두개의 반응 메카니즘으로 생각된다.



MMA의 Suspension Polymerization

서울대 공대 심정섭
○장원태

MMA(Methyl methacrylate)의 懸濁重合에 있어서 液滴의 거동을 연구할 목적으로 AIBN을開始劑로, polyvinyl alcohol을 安定劑로 사용하여 懸濁重合시켰다. 安定劑의濃度와 phase ratio의變化에 따른 poly-monomer粒徑과의 관계를 검토하고, 각 경우의重合時間에 따른 conversion을 구하였다. 각 경우에 얻은 입자의粒徑과 平均分子量과의 관계도 아울러 검토하였다.

Etherification Reaction of 4,4'-Dihydroxydiphenylmethane with Glycidyl Methacrylate

한국원자력연 변형직
○박완빈
성기웅
김기엽

The etherification reaction of 4,4'-dihydroxydiphenylmethane(4,4'DPM) and glycidyl methacrylate(GMA) catalyzed by triethylbenzyl ammonium chloride(TEBAC) has been studied. The reaction was in good agreement with second order reaction and the apparent activation energy was estimated 16.8Kcal/mol. However, after the mixtures stayed for 24 hrs at room temperature the reaction proceeded at very rapid rate and followed almost first order reaction kinetics several interesting informations regarding the effects of the catalyst or the kinds of DPM on the reaction were obtained. The possible reaction mechanism was elucidated from the experimental points of view.

Graft Copolymerization of Acrylonitrile to Polyvinylalcohol

한국과학원 조의환
○김청수

수용액에서 potassium persulfate(KPS)를 사용하여 polyvinylalcohol(PVA)에 acrylonitrile(AN)을 50°C에서 그라프트공중합시켰다. 이때 생성된 중합체의 총수득률은 약 85%가 되었다. KPS의 농도와 PVA가 반응에 비치는 영향을 조사하였으며, methylacrylate와 AN을 같이 반응시켜 겸성도 변화를 측정하였다.

Polymerization of Vinyl Monomers on Clay surfaces

한국과학원 조의환
○정광춘

고령토를 산처리하여 산성도와 표면적을 증가시킨 후에 methyl methacrylate(MMA)와 vinyl chloride monomers(VCM)를 사용하여 고령토 표면에서의 radical 중합을 시도하였다.

황산을 사용하여 산처리 하였으며 황산의 농도를 변화시켜 개시제의 흡착능력을 비교하였다. 고령토 표면에 개시제와 모노머를 흡착시켜 중합을 시키면 고령토 표면을 폴리머가 둘러싸게 되어 친수성인 고령토가 친유성인 고령토로 되었다.

개시제로는 AIBN을 쓰거나 N, N-dimethylaniline 또는 N, N-dimethyl-p-toluidine을 개시촉진제로 사용한 BPO를 사용했으며, 모노머는 MMA와 VCM 외에 N, N-dimethylaminoethyl methacrylate를 소량 넣어

고령토 표면증합의 정도를 비교하였다. 표면처리된 고령토의 물리적 성질도 조사하였다.

SB Diblock Copolymer 溶液의 Rheology 에 관한 研究

嶺南大 工大 金鳳植

Styrene-Butadiene(SB) diblock copolymer 中의 S, B兩 homopolymer에 대하여 良溶媒를 사용했을 경우와, S homopolymer에는 貧溶媒를 사용했을 때의 各溶液의 構造와 rheology 的인 關係를 조사한다.

특히 SB—貧溶媒의 경우에는 流動曲線, Casson Plot 등으로 부터 이 系는 分散系와 類似한 舉動을 나타내는 것을 알 수 있었다. 非線形, 非定常舉動에 있어서도 대우 長時間側에 strain 依存性이 큰 緩和 mode가 存在하는 것을 알았다. 이와같은 舉動은 高分子溶液中에 固體粒子를 分散시킨 系의 舉動과 類似했다. 이것은 末端의 polystyrene 分子量이 크기 때문에 比較的 큰 domain 을 만들고, 이 polystyrene domain 이 固體分散物과 같은 性質을 나타내는 것으로 생각된다.

Preparation of Sequential Copolyptide Containing Glycyl and γ -Benzyl-1- Glutamyl Residues

仁荷大 李東宙

○李基昌

金永哲

Copolyptide with repeating unit sequence, in which a glycyl residue is flanked progressively by two successive γ -benzyl-L-glutamyl residues, has been prepared by polymerization of p-nitrophenyl ester of the sequential peptide. Polycondensation was carried out in a polar solvent with triethylamine as initiator. The highest molecular weight obtained was 21,000(127 residues). The polymer was insoluble in most of the organic solvent except in such a strong acid like dichloroacetic acid.

Molecular conformation in solid state will be discussed.

Determination of Compositional Heterogeneity of Styrene-Acrylonitrile Statistical Copolymers by Thin Layer-FID Chromatography

아주공대 ○민태익
Kyoto University H. Inagaki

The feasibility of determining the compositional heterogeneity of copolymers by thin layer-FID chromatography has been demonstrated. Styrene(ST)-acrylonitrile(AN) statistical copolymer products, which were prepared at different conversion of monomer to polymer, were employed as test samples.

Good separation was achieved by developing in a concentration gradient, using the system tetrachloroethane-tetrahydrofuran. By this procedure, the composition distribution curves of ST-AN copolymer products were determined. The result agreed well with what one can expect from the influence of conversion upon the compositional heterogeneity.

高分子複合材料의 接着强度에 關 한 研究 (Ⅱ)

Fibreglass Reinforced Low Density Polyethylene의 強度向上 效果

漢陽大 工大 金源澤
○金商郁

Polymer matrix 는 low-density polyethylene을 使用하고 fibreglass 를 一方向으로 配列하여 複合시켰다.

그結果 fibreglass 의 複合素材가 continuous fibre 일 때는 Holister 의 理想 理論植와 거의 일치했고 discontinuous fibre 때는 理論植의 대략 $\frac{1}{2}$ 정도인데 이는 High density polyethylene의 경우보다 좋은값을 보여준다. 또한 N- β -aminoethyl- γ -aminopropyl trimethoxy silane 으로 fibreglass 에 處理했을때 약 10%까지의 容積변위에서는 理論植보다 다소 상회하는 結果를 얻었다.

高分子複合材料의 接着强度에 關한 研究 (Ⅲ)

Fibreglass Reinforced Polypropylene 의 強度向上 效果

漢陽大 工大 金源澤
○金商郁
盧時台

二成分系 複合材料로써 Polypropylene-Fibreglass 의

複合素材를 가지고 Holister의 理論을 實驗的으로 評하고 理論值와 비교했다.

Discontinuous fibre로 複合되었을 때는 그 強度가 理論值에 못미치고 continuous fibre의 경우도 약간 못미치고 있음을 보여준다.

한편, 여러가지 coupling agent 가운데 amino functional silane과 methyl vinyl dichloro silane으로 함께 處理했을 때 強度가 매우 뛰어난 複合된 polypropylene을 얻었다.

高分子 複合材料의 接着强度에 關

한 研究 (IV)

三成分系 強化플라스틱의 引張特性

漢陽大 工大 金 源 澤
金 商 郁
○盧 時 台

複合素材로써 탄산칼슘 및 粒狀 glass充填材와 fibre-glass 短纖維를, polymer matrix로써는 不飽和 polyester樹脂를 使用하여 粒狀分散系, 纖維狀充填系, 그리고 粒狀-纖維狀混合系의 三種의 composites를 成形했다.

粒狀分散系에서는 Nielsen의 質理論과 비교하여 充填材의 接着力차이에 따른 引張強度의 거동을, 纖維狀充填系에서는 纖維를 無配向으로 보강시켜 Holister의 複合法測과 비교하여 剪斷強度의 變化를 考察했고, 이들을 토대로하여 混合系에서의 充填材의 영향과 引張特性에 對하여 考察했다.

電氣放電法을 利用한 폴리에틸렌 複合材料에 關한 研究

仁荷大 金 震 煉
盧 益 三
○李 光 源

高密度폴리에틸렌에 充填劑를 加할 때 機械的強度에

미치는 영향을 檢討하고 폴리에틸렌 Corona放電을 했을 때 폴리에틸렌~充填劑 複合材料에 機械的強度에 어떻게 영향을 미치는가를 檢討하였다. Polymer~充填劑 사이에 相互引力이 적은 充填劑를 넣은 高密度폴리에틸렌의 引張強度는 充填劑를 많이 加할수록 減少되며 10%以下의 充填劑를 加入할 때 減少率은 複合材의 引張強度는 크게 된다. 그리고 同一量의 充填劑와 同一粒子 크기의 充填劑를 添加할 때 폴리에틸렌에 Corona放電을 시키면 機械的強度가 變하며 이는 Corona放電時間의 函數가 된다. 이때 適當한 時間 Corona放電을 하고 充填劑를 添加하면 폴리에틸렌의 強度보다 큰 引張強度의 複合材料도 만들수가 있었다.

癡플라스틱을 利用한 特殊吸着劑의 製造에 關한 研究 (II)

漢陽大 工大 崔 奎 碩
○宋 聖 鉉

베이클라이트癡品을 利用하여 700~900°C에서 不活性가스氣流中에서 炭火시키고, 이를 다시 700~900°C에서 水蒸氣賦活시키나 또는 含窒素化合物을 處理하고 水蒸氣賦活시킨 製品들에 대하여 Pb^{++} , Cu^{++} , Hg^{++} , Cd^{++} 들의 金屬이온들에 대한 吸着能 및 鎗爾倫블루에 대한 吸着能을 檢討하였다. Hg^{++} 및 Cd^{++} 이온들에 대해서는 尿素나 鎗爾魯 엘라민같은 含窒素化合物의 쳐서로 현저한 吸着能改善效果를 나타내는 事實을 確認하였다.